

ENUNCIADO DEL EJEMPLO 9

Una partícula de masa concentrada m se haya insertada en un semiarco homogéneo de masa M y radio R .

Los extremos del semiarco se encuentran ligados al eje OX de coordenadas.

Paso 0. Reiniciación de las variables del sistema y llamada a los paquetes linalg, plots y plottools.

```
> restart;
```

```
> with(linalg):with(plots):with(plottools):
```

```
Warning, the protected names norm and trace have been redefined and unprotected
```

```
Warning, the name changecoords has been redefined
```

```
Warning, the name arrow has been redefined
```

```
> libname:="C:/",libname:
```

```
> with(mecapac3d):
```

Paso 1. Definimos las coordenadas generalizadas del sistema en una lista que se denominará cg.

```
> cg:=[x,theta,phi];
```

$$cg := [x, \theta, \phi]$$

```
> R:=1;
```

$$R := 1$$

Paso 2. Definición mediante variables de los elementos que forman el sistema mecánico.

El sistema consta de un semiarco pesado que se desplaza articulado por sus extremos en el eje X, sobre el que puede girar. Además se encuentra ensartada una partícula pesada.

Defino primero el centro de masa del semiarco, su rotación y un subsistema de ejes ligados a él.

```
> xgsemia:=[x,2*R/Pi*cos(theta),-2*R/Pi*sin(theta)];
```

$$xgsemia = \left[x, \frac{2 \cos(\theta)}{\pi}, -\frac{2 \sin(\theta)}{\pi} \right]$$

```
> rotsemia:=rota(-theta,1);
```

$$rotsemia = \begin{bmatrix} 1 & 0 & 0 \\ 0 & \cos(\theta) & \sin(\theta) \\ 0 & -\sin(\theta) & \cos(\theta) \end{bmatrix}$$

```
> submovil:=[subsistema2,[x,0,0],rotsemia,[part]];
```

$$submovil := [\text{subsistema2}[x, 0, 0], \text{rotsemia}[\text{part}]]$$

Ahora defino el semiarco y la partícula.

```
> semia:=[semitro, xgsemia, rotsemia, M, R];
```

$$semia := \left[semiaro \left[x, \frac{2 \cos(\theta)}{\pi}, -\frac{2 \sin(\theta)}{\pi} \right], rotsemia M, 1 \right]$$

```
> part:=[punto,R*cos(phi),R*sin(phi),0,m];
      part:=[punto cos(phi), sin(phi), 0, m]
```

Paso 3. Definición de los elementos gráficos que definirán nuestro sistema de ejes.

```
> ejex:=[vector,[0,0,0],[20,0,0],red];
> ejey:=[vector,[0,0,0],[0,5,0],green];
> ejez:=[vector,[0,0,0],[0,0,5],blue];
> TO := [texto,[0,0,-1],"O"];
> TX := [texto,[20,0,-1],"X"];
> TY := [texto,[0,5,-1],"Y"];
> TZ := [texto,[0,0,6],"Z"];
```

Paso 4. Definición de la variable sistema que agrupa en una lista todos los elementos anteriores.

```
> sistema:=[semia,ejex,ejey,ejez,TO,TX,TY,TZ,submovil];
sistema= [[semiaro [x,  $\frac{2 \cos(\theta)}{\pi}$ , - $\frac{2 \sin(\theta)}{\pi}$ ], rotsemia M, 1], [vector [0, 0, 0], [20, 0, 0], red], [vector [0, 0, 0], [0, 5, 0], green], [vector [0, 0, 0], [0, 0, 5], blue], [texto [0, 0, -1], "O"], [texto [20, 0, -1], "X"], [texto [0, 5, -1], "Y"], [texto [0, 0, 6], "Z"], [subsistema [x, 0, 0], rotsemia [[punto cos(phi), sin(phi), 0, m]]]]]
```

Paso 5. Obtención de la energía cinética del sistema mediante fT asignándola a la variable T.

```
> T:=fT(sistema);
T:=  $\frac{1}{2} M \left( x_1^2 + \frac{4 \sin(\theta)^2 \theta_1^2}{\pi^2} + \frac{4 \cos(\theta)^2 \theta_1^2}{\pi^2} \right) + \frac{\theta_1^2 M (\pi^2 - 8)}{4 \pi^2}$ 
 $+ \frac{1}{2} m ((x_1 - \sin(\phi) \phi_1)^2 + (-\sin(\theta) \theta_1 \sin(\phi) + \cos(\theta) \cos(\phi) \phi_1)^2 + (-\cos(\theta) \theta_1 \sin(\phi) - \sin(\theta) \cos(\phi) \phi_1)^2)$ 
```

Paso 6. Obtención de la energía potencial del sistema mediante fV asignándola a la variable V.

```
> V:=fV(sistema);
V:= -  $\frac{2 M g \sin(\theta)}{\pi} - m g \sin(\theta) \sin(\phi)$ 
```

Paso 7. Obtención de la lagrangiana como diferencia de energías entre la energía cinética y la potencial.

```
> L:=simplify(T-V);
```

$$L := \frac{1}{4\pi} (2Mx_1^2\pi + \theta_1^2 M\pi + 2m\pi x_1^2 - 4m\pi x_1 \sin(\phi) \dot{\phi}_1 + 2m\pi \dot{\phi}_1^2 + 2m\pi \theta_1^2 - 2m\pi \theta_1^2 \cos(\phi)^2 + 8Mg \sin(\theta) + 4mg \sin(\theta) \sin(\phi) \pi)$$

Paso 8. Obtención de las ecuaciones de lagrange para las dos coordenadas generalizadas mediante el operador Ec_lag

> **ecua:=ec_lag();**

$$\begin{aligned} \text{ecua:=} & \left[\frac{4M \left(\frac{d^2}{dt^2} x(t) \right) \pi + 4m\pi \left(\frac{d^2}{dt^2} x(t) \right) - 4m\pi \cos(\phi(t)) \left(\frac{d}{dt} \phi(t) \right)^2 - 4m\pi \sin(\phi(t)) \left(\frac{d^2}{dt^2} \phi(t) \right)}{4\pi}, \right. \\ & \frac{1}{4\pi} \left(2 \left(\frac{d^2}{dt^2} \theta(t) \right) M\pi + 4m\pi \left(\frac{d^2}{dt^2} \theta(t) \right) - 4m\pi \left(\frac{d^2}{dt^2} \theta(t) \right) \cos(\phi(t))^2 \right. \\ & \left. \left. + 8m\pi \left(\frac{d}{dt} \theta(t) \right) \cos(\phi(t)) \sin(\phi(t)) \left(\frac{d}{dt} \phi(t) \right) \right) - \frac{8Mg \cos(\theta(t)) + 4mg \cos(\theta(t)) \sin(\phi(t)) \pi}{4\pi}, \right. \\ & \left. \frac{-4m\pi \left(\frac{d^2}{dt^2} x(t) \right) \sin(\phi(t)) - 4m\pi \left(\frac{d}{dt} x(t) \right) \cos(\phi(t)) \left(\frac{d}{dt} \phi(t) \right) + 4m\pi \left(\frac{d^2}{dt^2} \phi(t) \right)}{4\pi} \right. \\ & \left. - \frac{-4m\pi \left(\frac{d}{dt} x(t) \right) \cos(\phi(t)) \left(\frac{d}{dt} \phi(t) \right) + 4m\pi \left(\frac{d}{dt} \theta(t) \right)^2 \cos(\phi(t)) \sin(\phi(t)) + 4mg \sin(\theta(t)) \cos(\phi(t)) \pi}{4\pi} \right] \end{aligned}$$

Paso 9. Asignación de valores numéricos a los parámetros que queden sin asignar para poder proceder a la integración numérica.

> **g:=9.8;M:=2;m:=1;**

$$g := 9.8$$

M := 2

m := 1

Paso 10. Integración numérica del problema mediante la función fint asignando el resultado a la variable res.

> **res:=fint([0,3,0,0.1,Pi/4,0.1]):**

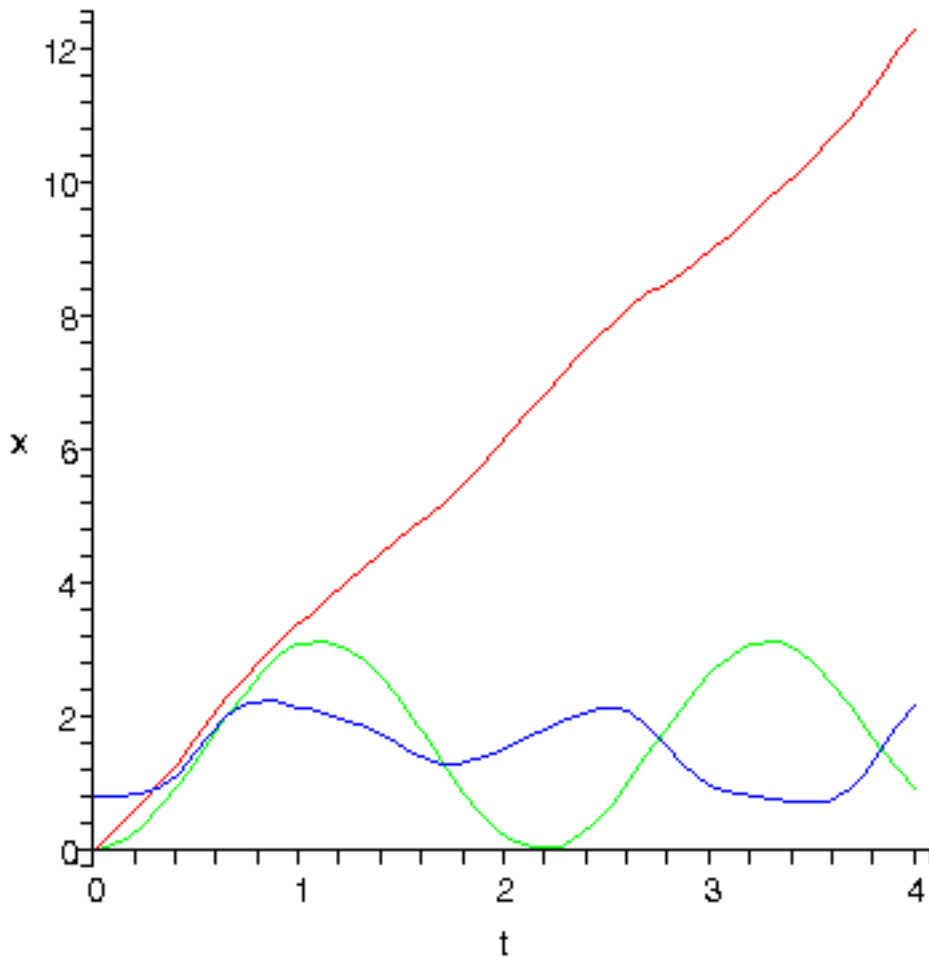
Paso 11. Representación gráfica de las evoluciones temporales x, theta y phi mediante odeplot.

> **p1:=odeplot(res,[t,x(t)],0..4,color=red):**

> **p2:=odeplot(res,[t,theta(t)],0..4,color=green):**

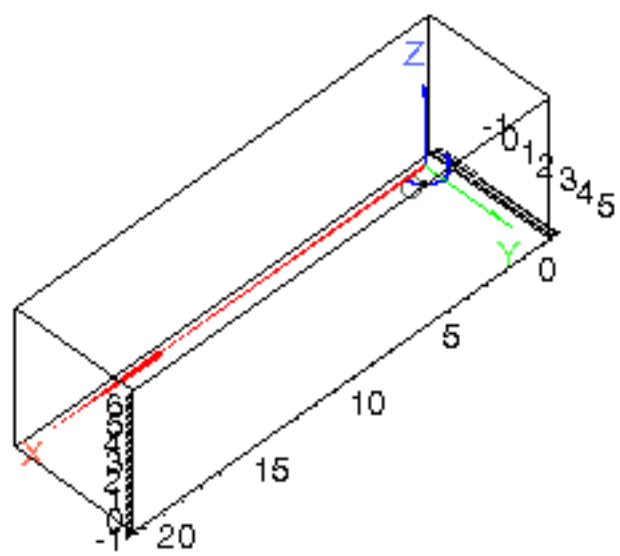
> **p3:=odeplot(res,[t,phi(t)],0..4,color=blue):**

> **display({p1,p2,p3});**



Paso 12. Procedemos a realizar una animación del movimiento del conjunto por medio de la función dibu3.

> **dibu3(4,70);**



▼